

THE MIDDLE BRONZE AGE BURIAL OF KOLONA AT AEGINA ISLAND, GREECE: STUDY OF THE HUMAN SKELETAL REMAINS

by Sotiris K. Manolis and Anastasios A. Neroutsos

INTRODUCTION

In October of 1993 I accepted (S. K. M) Dr. I. Kilian's invitation for the study of a Middle Bronze Age (MBA) skeleton, excavated by H. Walter in 1982 at Kolona, Aegina.

The MBA skeletons are of great interest, because it has been supposed that in this time [late phases of Early Bronze Age (EBA)/early phases of MBA] the Proto-Greeks arrived in the country (Crossland and Birchall 1974; Angel 1971).

Angel (1951, 1971, 1973, 1982) also studied several MBA cemeteries at Lerna, Asine, Mycenae (Grave Circle B), Troy and Eleusis. He stated that generally the MBA population of Southern Greece (especially in the Argolid) was very variable and that was due to an extensive migration which happened at the end of the Early Bronze Age (EBA III). He supposed that the indigenous population of Lerna lived with the invaders but the latter imposed their characteristics (by gene flow). His conclusions for Grave Circle B at Mycenae are the following: The aristocrats of Mycenae were invaders possibly from the North (their characteristics were nordic).

In the Ph. D. of one of the authors (Manolis 1990) there was an anthropological study of the MBA population of Southern Greece and Crete. A concluding remark is that there are not enough indications for such an invasion as Angel (1971) noted. This is supported by the archaeological evidence (Korres 1985).

For these reasons it is of great interest to elucidate what happened in these times and the study of a large body of skeletal material will be valuable.

In this short report we tried to give a view of the physical posture and other anthropological characteristics of the buried man. We also give metrical comparisons with other MBA populations in order to assign its relationships.

TAPHONOMY

The skeleton was lying on its dorsal back. The upper extremities were upon the chest (especially the left). The

right arm was somewhat extended to the right in an angular position and the hand was higher on the chest than the left hand. The ribs were scattered around the vertebral column. In the latter (spine) only the last thoracic and lumbar vertebrae were intact. The lower extremities were bent and turned to the right (Taf. 1).

MATERIAL – METHODS

I. DESCRIPTION OF THE MATERIAL

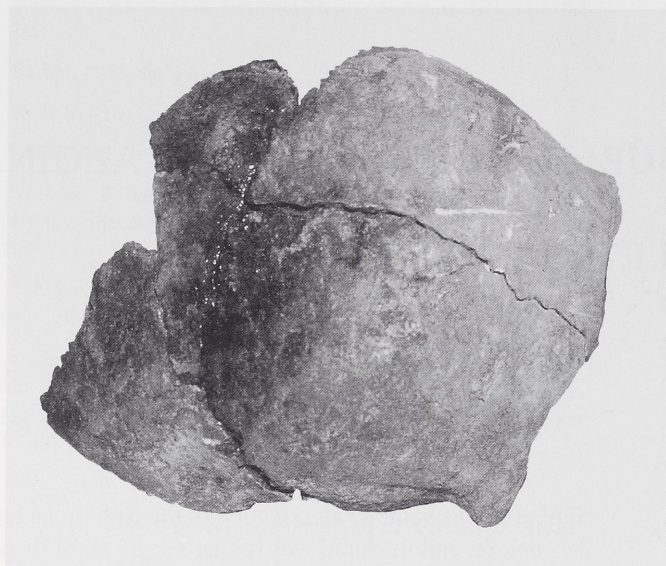
I. 1. STATE OF PRESERVATION: The skeleton was in a very bad state of preservation (Taf. 1). The cranium was very fragmented. We tried hard for reconstruction without success. Most of the long bones were also fragmented, except the left humerus. The left femur was partially reconstructed (and measured). The following bones were identified:

Cranium

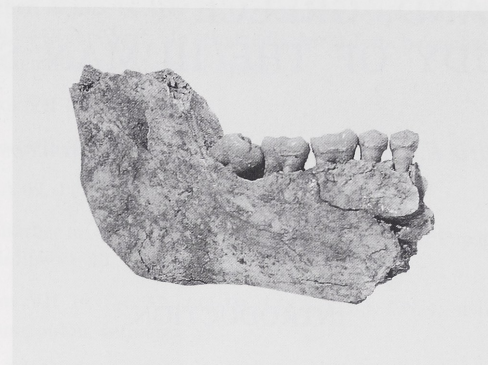
The frontal bone is complete and the metopic suture in the midline (metopism) is evident (Abb. 90, 1). The left temporal is intact. The left parietal is fragmented in two pieces and reconstructed, and the right parietal is represented by a large proximal fragment (around the coronal suture), the rest is missing. The occipital consists of three large fragments. A scatter of several bone-fragments of the cranial base has also been found. The facial bones (maxillary, zygomatic and nasal bones) were in a bad condition. Unfortunately it was very difficult to reconstruct these parts of the cranium. The molar bones are almost complete. The anterior teeth are missing (Abb. 90, 2). The tooth wear is high. The molars (M2 and M3) on both sides have been lost *ante-mortem*.

Mandible

The mandible was fragmented. There are portions of the body including a part of the ascending rami but without the symphysis. The right fragment has only the premolars



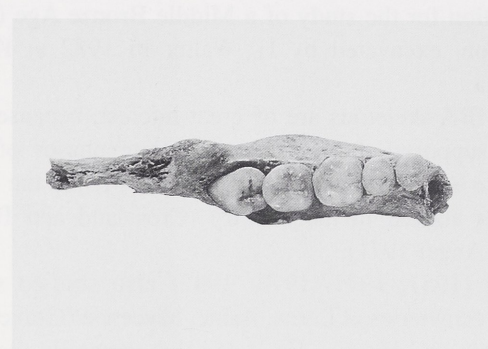
1



3a



2



3b

Abb. 90 Skeletal remains from the Shaft Grave. – 1 The frontal bone (note the metopic suture). – 2 The maxilla without the anterior teeth and the ante-mortem loss of the molars. – 3a The lateral view of the right fragment of the mandible. – 3b The tooth wear of the same fragment.

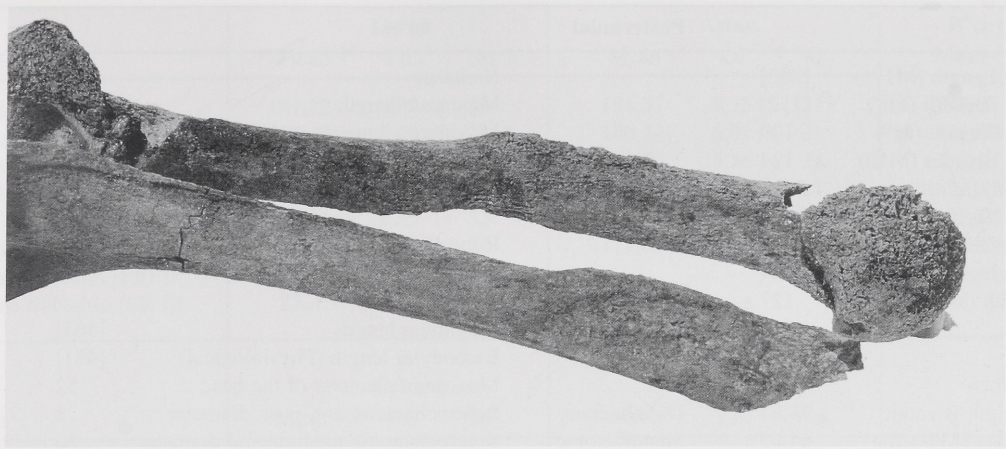
and molars (Abb. 90, 3a. b). The left fragment has all the teeth from canine to the second molar. The third molar is missing (a case of *ante-mortem* extraction). The tooth wear is of medium to high degree (Brothwell 1981).

Post-cranial

1) Fragment of the right scapula including the glenoid cavity. 2) Fragment of the diaphysis of the right clavicle. The sternal part is missing. The left clavicle is represented by a fragment consisting of the diaphysis and the sternal epiphysis. 3) Right humerus without the proximal (upper) epiphysis. The head is missing. Left humerus, almost complete, lacks a small portion of the trochlea (measured) (Abb. 91, 1). 4) Midshaft (diaphyseal) fragments of both radius and ulna (left and right). 5) The cervical vertebrae were missing. There were fragments of the thoracic vertebrae. The lumbar vertebrae (Abb. 91, 2. 3) were in a good state of preservation. 6) The sacrum too was in a good

condition, but the coccygeal vertebrae were missing.
7) The right part of the pelvis (the acetabulum is included).
8) The right femur, represented by the distal end (Abb. 91, 4). The left femur is almost complete. There was a crack in the midshaft but after the reconstruction we were able to measure its maximum and physiological length.
9) We identified two fragments of the fibulae. There were no tibiae and almost no bones of hands and feet.

I. 2. SEX DETERMINATION: Evaluating all the available morphological and metrical characters of the skull and the pelvis (European Workshop for Anthropologists, 1980), we determined the sex of the buried individual as male. The well developed browridges and the occipital protuberance are the only available morphological features for sex determination. It can be added that the value of the measurement of the vertical diameter of the femoral head is 52 mm and this is in the range of the



1



2



3



4

Abb. 91 Skeletal remains from the Shaft Grave. – 1 The humeri (note the well developed deltoid tuberosity in the midshaft). – 2, 3 The lumbar vertebrae with the osteophytes. – 3 The distal end of the right femur with marks of a healed injury in the intercondylar fossa.

Cranial	Postcranial		
Maximum Cranial Length (M1)	[203]	Humerus	
Maximum Cranial Breadth (M8)	[152]	Maximum length	293
Minimum Frontal Breadth (M9)	100	Maximum diameter midshaft	24
Maximum Frontal Breadth (M10)	124	Minimum diameter midshaft	22
Bistephanic Breadth (M10b)	112	Least circumference of the shaft	67
Frontal Chord (M 29)	105		
Nasion-Bregma Fraction (FRF)*	47	Robusticity Index	22,86
Nasion-Bregma Subtense (FRS)*	24		
Biasterionic Breadth (M12)	127	Femur	
Indices		Maximum length	[463]
Cranial Index (Length-Breadth)	74,87	Bicondylar length (Physiological)	[461]
Fronto-Parietal Index [M9/M8]	64,93	Maximum diameter of the head	52
M9/M10	80,64	Subtrochanteric ant.-post. diameter	28
		Subtrochanteric mediolateral diameter	36
		Meric index	77,78
			Platymeric

Tab. 1 Selected cranial and postcranial measurements of the studied individual.

males (Bass, 1987). Unfortunately the anatomical reconstruction of the skull did not permit the application of several discriminant functions of Giles and Elliot (1963) for another sex determination.

I. 3. AGE ESTIMATION: The estimated age of death is about 22-26 years, by scoring the cranial suture closure (Meindl and Lovejoy 1986; Key et al. 1994).

II. METHODS

II. 1. MEASUREMENTS: The fragmentary nature of the skeleton did not allow to take a satisfactory set of measurements of the calva for comparing with other Middle Bronze Age skulls (Lerna, Asine, Eleusis, Pylos). Fortunately the preservation of the humerus and femur (left) was pretty well and after a small reconstruction we succeeded in estimating the average stature.

II. 2. STATURE ESTIMATION: Using the conversion formula of Feldesman et al. (1990) for femur length (which measured 463 mm), a stature estimate of 173,1 cm was obtained for this individual. Applying also, the formula of Trotter and Gleser (1952) the stature of this individual was estimated to be 172,9 cm. These stature values are in the range of variation of the Middle Bronze Age [164, 4 -173,0 cm] and resemble the stature of Grave Circle B at Mycenae which is 169,5 cm (Manolis et al. in press).

II. 3. MORPHOMETRIC ANALYSIS: The following measurements (Table 1) from the calva and the long bones were taken. These are: Maximum cranial length (M1), Maximum cranial breadth (M8), Minimum frontal breadth (M9), Bistephanic breadth (M10b), Biasterionic breadth (M12), Frontal chord (M29), Nasion-bregma

fraction (FRF) and Nasion-bregma subtence (FRS). We used the Martin-Saller (1959) methodology and the last two measurements are of W. W. Howells (1973).

The calvarial data were analysed statistically by the estimation of Penrose distances in order to assign the possible shape similarities with other MBA populations, especially from the Argolid.

RESULTS – DISCUSSION

ANATOMICAL – ERGONOMIC OBSERVATIONS : Generally speaking the dead man was robust enough. From the extensive examination of the bony surface and especially of the humerus, it seems that the individual used its hands and most probably the right (agricultural activities or warrior). There are vigorous muscular insertions (enthesopathies) (Dutour 1986) in comparison to the left humerus, resulting in bony alterations (strengthening) from the midshaft to the proximal epiphysis (Abb. 91, 1).

PALEOPATHOLOGICAL OBSERVATIONS: There are several pathological alterations. We observed a thickening in the frontal and parietal bones, but there is not any visible case of porotic hyperostosis. There is a case of anemia – possibly an iron-deficiency anemia or an acquired one (Stuart-Macadam 1987a, b; Ortner and Aufderheide 1991). We also recorded osteophytes in the lumbar vertebrae (Abb. 91, 2, 3). In the lateral condyle of the right femur [intercondylar fossa] there are intense marks of a healed injury (Abb. 91, 4). It seems that in the left femur there is a healed injury in the bony part between the neck of the head and the greater trochanter.

Measurements	Lerna			Asine			B'circle of Mycenae		
	Mean	s.d.	No	Mean	s.d.	No	Mean	s.d.	No
Maximum cranial length [M1]	187,22	8,87	32	184,57	8,35	21	194,60	8,65	15
Maximum cranial breadth [M8]	139,47	7,49	32	140,24	6,01	21	144,00	6,20	15
Minimum frontal breadth [M9]	98,63	5,78	32	95,52	5,56	21	98,40	4,03	15
Bistephanic Breadth {M10b}	116,84	6,53	32	117,19	2,69	21	119,00	2,72	15
Biasterionic Breadth [M12]	111,97	4,85	32	112,95	3,07	21	122,20	1,74	15
Frontal Chord [M29]	112,28	5,87	32	112,05	3,67	21	113,07	0,96	15
Nasion-Bregma Fraction [FRF]*	57,97	5,43	32						
Nasion-Bregma Subtense [FRS]*	27,22	3,06	32						

Measurements	Pylos			Eleusis			Aigina skeleton		
	Mean	s.d.	No	Mean	s.d.	No			
Maximum cranial length [M1]	189,88	9,61	8	186,80	7,19	5			203,00
Maximum cranial breadth [M8]	136,88	8,04	8	138,40	8,08	5			152,00
Minimum frontal breadth [M9]	97,88	3,52	8	98,40	3,78	5			100,00
Bistephanic Breadth {M10b}	118,50	5,16	8	113,00	3,08	5			112,00
Biasterionic Breadth [M12]	115,50	6,19	8	111,20	4,20	5			127,00
Frontal Chord [M29]	116,38	7,67	8	110,00	2,23	5			105,00
Nasion-Bregma Fraction [FRF]*	54,00	7,48	8						47,00
Nasion-Bregma Subtense [FRS]*	29,56	3,15	8						24,00

Tab. 2 Mean values, s. d. and no of observations of the reference sample.

	Lerna-Aigina	Asine-Aigina	Mycenae-Aigina	Pylos-Aigina	Eleusis-Aigina
M1	-1,7100	-2,0000	-9,100	-1,4200	-1,7600
M8	-1,7500	-1,6400	-1,1200	-2,1100	-1,9000
M9	-0,2700	-0,8700	-0,3100	-0,4100	-0,3100
M10b	0,9800	1,0500	1,4100	1,3100	0,2000
M12	-3,3700	-3,1500	-1,0700	-2,5800	-3,5500
M29	1,4700	1,4200	1,6300	2,2900	1,0100
Sum og d-Values	-4,6500	-5,1900	-0,3700	-2,9200	-6,3100
M1	2,9241	4,0000	0,8281	2,0164	3,0976
M8	3,0625	2,6896	1,2544	4,4521	3,6100
M9	0,0729	0,7569	0,0961	0,1681	0,0961
M10b	0,09604	1,1025	1,9881	1,7161	0,0400
M12	11,3569	9,9225	1,1449	6,6564	12,6025
M29	2,1609	2,0164	2,6569	5,2441	1,0201
Sum of squares of d-values	20,5377	20,4879	7,9685	20,2532	20,4663
Mean Squares Distance	3,4230	3,4146	1,3281	3,3755	3,4110
Shape distance	2,8224	2,6664	1,3243	3,1387	2,3050
Size distance	0,6006	0,7482	0,0038	0,2368	1,1060

Tab. 3 Size – Shape Distance Analysis with Aegina skeleton as reference sample.

MORPHOMETRIC ANALYSIS

In table 2 the mean values, standard deviations and the no. of observations of the reference sample is presented. A first comparison of the metrical data shows that the Aegina skeleton is closer to the graves of Circle B at Mycenae.

In table 3 the results of the shape-size distance analysis (Penrose 1954) are presented. It is clear that the specimen under study is very similar to the dead of Grave Circle B at Mycenae. They are very similar in shape and size, while there is similarity in size only with Pylos MBA

specimens. This is another evidence that the dead man of Aigina possibly belongs to the aristocrats of Mycenae. The previous one was the similarity in stature and the robustness. The dead of Mycenae are also robust and tall (Angel 1973). All the finds advocate (the culture material found and the morphometric results) that the young warrior must be a member of the ruling casts of the MBA cities-centres as the rulers of Mycenae. We do not know exactly the relationships and the affinities between these families but surely these rulers were of special physical posture.

CONCLUDING REMARKS

In conclusion, the dead young man in the tomb of Aegina is a robust one, with morphological and metrical characters very similar to the MBA population of Grave Circle B at Mycenae. There were healed injuries and vigorous enthesopathies (muscle insertions) especially on the right arm, because of the weapon use (sword). It is difficult to say anything about the cause of his death. Someone can suppose that he was killed in a battle, because we think that the possible anemia found is not so dangerous for the life, especially if it is an iron-deficiency or an acquired one (adaptation of various infections). There is not a case of genetical anemia because there are no bone alterations (i. e. sickle-cell anemia, or mediterranean one) (Hershkovitz et al. 1991).

The dead man of Aegina was a tall one and this of course is another evidence for the high status of the living conditions in these times.

Acknowledgements: We would like to thank all the staff of the Archaeological Museum of Piraeus for their help, especially the archaeologists Mrs. Aksioti and Mrs. Papastavrou. We would also like to thank the archaeologist Mrs. S. Michalopoulou for her assistance in taking the photographs. Finally we thank Mr. Chr. Tsapardonis, biologist, for his general help in the treatment of the skeletal material.

REFERENCES

- Angel, J. L. 1951: Troy: The human remains. Suppl. Monogr. 1. In: C. W. Blegen, *Troy. Excavations conducted by the University of Cincinnati 1932-1938* (Princeton University Press).
- Angel, J. L. 1971: The People of Lerna. Am. School of Classical Studies at Athens and Smithsonian Institution. (Washington, D. C.).
- Angel, J. L. 1973: Human skeletons from Grave Circles at Mycenae. In: G. E. Mylonas, 'Ο ταφικός κύκλος Β τών Μυκηνών (Athen) 379-395.
- Angel, J. L. 1982: Ancient skeletons from Asine. App. 1. In: S. Dietz, *Asine II. Results of the excavations East of the Acropolis, 1970-1974* (Stockholm).
- Bass, W. M. 1987: *Human Osteology: a laboratory and field manual*. 3rd Edition. Missouri Archaeological Society, Publ. No 2, 327.
- Brothwell, D. 1981: *Digging Up Bones*. British Museum, Natural History (London).
- Dutour, O. 1986: Enthesopathies (Lesions of muscular Insertions) as Indicators of the Activities of Neolithic saharan Population. *Amer. J. Phys. Anthropol.* 71, 221-224.
- Feldesman, M. R., Kleckner, J. G. and Lundy, J. K. 1990: Femur/Stature Ratio and Estimates of Stature in Mid- and late Pleistocene Fossil Hominids. *Amer. J. Phys. Anthropol.* 83, 359-372.
- Giles, E. and Elliot, O. 1963: Sex determination by discriminant function analysis of crania. *Amer. J. Phys. Anthropol.* 21: 53-68.
- Crossland, A. R. and Birchall, A. 1974: *Bronze Age Migrations in the Aegean: Archaeological and Linguistic problems in Greek prehistory* (London).
- Hershkovitz , I., Ring, B., Speirs, M., Galili, E., Kislev, M., Edelson, G., and Hershkovitz, A. 1991: Possible Congenital Haemolytic Anemia in Prehistoric Coastal Inhabitants of Israel. *Amer. J. Phys. Anthropol.* 85, 7-13.
- Howells, W. W. 1973: *Cranial Variation in Man. A Study by Multivariate Analysis of Patterns of Difference Among Recent Populations*. Papers of Peabody Museum of Archaeology and Ethnology, Harvard Univ., vol. 67.
- Key, C. A., Aiello, L. C. and Molleson, Th. 1994: Cranial Suture Closure and its Implications for Age Estimation. *Intern. J. Osteoarchaeol.* 4, 193-207.
- Korres, G. 1985: Helladic civilisation (in Greek). Athens University Press (Athens).
- Manolis, S. K. 1990: Anthropological research for the composition of the Bronze Age population in Southern Greece. Ph. D., Athens University, Dept. of Biology.
- Manolis, S. K., Hassiacou, A. and Zafeiratos, C. S., in press: A statistical analysis of the Middle Bronze Age

- skulls from Argolid (Greece) using Discriminant functions. P. A. C. T.
- Manolis, S. K., Panagiaris, G., Contaxi, Chr., and Zafeiratos, C., in press: Some important observations from stature variation in ancient Helladic populations. P. A. C. T.
- Meindl, R. S. and Lovejoy, C. O. 1986: Ectocranial Suture Closure: A Revised Method for the Determination of Skeletal Age at death on the Lateral-Anterior Sutures. Am. J. Phys. Anthropol. 68, 57-66.
- Ortner, D. J. and Aufderheide, A. 1991: Human Paleopathology: Current synthesis and future options. Smithsonian Institution Press.
- Penrose, L. S. 1954: Distance, Size and Shape. Annals of Eugenics 18, 337-343.
- Martin R. and Saller, K. 1959: Lehrbuch der Anthropologie (G. Fischer Verlag, Stuttgart).
- Stuart-Macadam, P. 1987a: A Radiographic Study of Porotic Hyperostosis. Amer. J. Phys. Anthropol. 74, 511-520.
- Stuart-Macadam, P. 1987b: Porotic Hyperostosis: New Evidence to Support the Anemia Theory. Amer. J. Phys. Anthropol. 74, 521-526.
- Trotter, M. and Gleser, G. C. 1952: Estimation of stature from long bones of American Whites and Negroes. Amer. J. of Phys. Anthropol. 10, 463-514.
- Workshop of European Anthropologists. Recommendations for Age and Sex Diagnoses of Skeletons. J. Hum. Evol. (1980) 9, 517-549.

ΠΕΡΙΛΗΨΗ

Στα πλαίσια τών συστηματικών ανασκαφών στον προϊστορικό οικισμό Κολώνα υπό την διεύθυνση του H. Walter ερευνήθηκε το καλοκαίρι του 1982 ένας αδιατάραχτος τάφος της μέσης εποχής του χαλκού. Ο τάφος αυτός βρίσκεται στην περιοχή της νοτιοανατολικής πύλης της κάτω πόλης και αμέσως μπροστά από την πρόσοψη του οχυρωματικού τείχους. Πάνω και δίπλα από τον νεκρό που βρισκόταν σε ύπτια στάση με συνεσταλμένα τα πόδια υπήρχαν πλούσια κτερίσματα: ξίφος, εγχειρίδιο, αιχμή δόρατος, δύο μαχαίρια, ξυράφι, πολλά τεμάχια από χαυλιόδοντες κάποιου, χρυσό διάδημα και μερικά πτήλινα αγγεία.

Στο πρώτο κεφάλαιο γίνεται η παρουσίαση των κτερισμάτων και η τυπολογική και χρονολογική τους κατάταξη. Στην κατασκευή της λαβής το ξίφος μοιάζει με τον τύπο A των μυκηναϊκών σπαθιών. Έχει το στενό κοντό στέλεχος χωρίς περιχείλωμα και το σφαιρικό ελεφαντοστέινο μύκητα πάνω σε χρυσό δίσκο. Η διάταξη όμως των πέντε χοντρών ήλων σε οριζόντια γραμμή στην άκρη της λεπίδας αντιστοιχεί προς εγχειρίδια και ξίφη της πρώιμης εποχής του χαλκού. Η αιχμή δόρατος ανήκει στον γνωστό τύπο με κοίλες ράχες γιά την στερεότητα του κοντού. Ο τύπος αυτός είναι διαδεδομένος στην Στερεά Ελλάδα και στην Κρήτη. Η χρήση του ως ταφικό κτέρισμα περιορίζεται στον ελλαδικό χώρο. Το εγχειρίδιο κατατάσσεται στην ομάδα με φαρδείς ώμους του Brannigan (»winged dagger«), δεν υπάρχουν όμως τελείως όμοια παραδείγματα. Λίθινες αιχμές βελών, συνήθως από οψιανό, με κοίλη βάση πρωτοεμφανίζονται στην ΠΕ III περίοδο και απαντούν ακόμα μέχρι την ΥΕ ΙΙΙΒ περίοδο. Από την θέση των αιχμών σε μερικούς τάφους (Θήβα, Νιδρί Λευκάδας) φαίνεται ότι γιά την κτέριση των νεκρών δεν χρησιμοποιήθηκαν ούτε φαρέτρες γεμάτες με βέλη ούτε ολόκληρα βέλη αλλά μόνο οι λίθινες αιχμές. Στην Στερεά Ελλάδα όπου οι αιχμές από οψιανό βρέθηκαν συχνά σε λακκοειδείς και θολωτούς τάφους το τόξο (γιά κυνήγι η γιά την μάχη πάνω στο άρμα) προφανώς συνδέεται ως κτέρισμα με την κατηγορία των εξαιρετικά πλούσιων ταφών. Ο τάφος της Αίγινας περιέχει συνολικά 80 περίπου πλακίδια από χαυλιόδοντες με τούπες διαφόρων σχημάτων. Με βάση τις μορφές και τις διαστάσεις των πλακίδων έγινε η αναπαράσταση ενός οδοντόφρακτου κράνους διαφορετικού από τον κανονικό τύπο. Τα πλακίδια σχηματίζουν έξι σειρές που σκεπάζουν τις οραφές του δερμάτινου (?) πίλου και ο ελεφαντοστέινος δίσκος βρίσκεται στην κορυφή. Τα πρώιμα κράνη από τους τάφους της Αίγινας, της

Ελευσίνας και της Θήβας καθώς και από το σπίτι Ε της Εύτρησης αποδεικνύουν την μεσοελλαδική παραδοση του οδοντόφρακτου κράνους των μυκηναϊκών χρόνων.

Από τα δύο μαχαίρια το ένα αντιπροσωπεύει ένα γνωστό μεσοελλαδικό τύπο. Το άλλο είναι μικρό και δεν έχει αντίστοιχα στο Αιγαίο. Με την χρυσή επένδυση της λαβής το ξυράφι ξεχωρίζει από τις συνήθεις γλωσσοειδείς λεπίδες. Τα ολόγλυφα κεφάλια κάποιου από χρυσό έλασμα πρέπει να προερχονται από μινωικό εργαστήρι. Το διάδημα έχει χρονολογικά αντίστοιχα στον τάφο 24 της Αγ. Ειρήνης (Κέως) και στον τάφο 1970-12 της Ασίνης. Στην κεραμεική του τάφου συμπεριλαμβάνονται αγγεία ντόπιας κατασκευής καθώς και κυκλαδικής και κρητικής προέλευσης. (Τρεις αμφορείς τοπικής αμαυρόχρωμης κατηγορίας δεν ήταν προσιτοί κατά την διάρκεια της μελέτης και δεν είναι δυνατόν να απεικονισθούν στην παρούσα δημοσίευση). Πολύ σημαντικοί γιά την χρονολόγηση του τάφου είναι ο κάνθαρος, χρακτηριστικός του οικισμού ΙΧ της Κολώνας (= MM II), και ο γεφυρόσχημος αμφορέας καμαραϊκού ρυθμού.

Στο δεύτερο κεφάλαιο εξετάζονται η τοποθεσία και η αρχιτεκτονική του τάφου. Η θέση του χρακτηρίζεται από την γειτνίαση προς το οχυρωματικό τείχος και την κυρία είσοδο στον οικισμό, δηλ. από την ορατότητα γιά όλους που πλησίαζαν την πολή. Από την φύση της η θέση αυτή δεν ήταν καθόλου κατάλληλη γιά ταφή αφού τον φυσικό βράχο στο σημείο αυτό κάλυπταν λίγα μόνο χώματα. Γ' αυτό αντί να σκαφθεί ένας λάκκος χτίσθηκαν υπέργεια τοίχοι ταφικού θαλάμου. Στις δύο μακρές πλευρές επίπεδες οριζόντιες πλάκες σχηματίζουν στενές πατούρες σε ύψος 0,80μ πάνω από το δάπεδο του τάφου. Έχουμε εδώ δηλαδή όλα τα στοιχεία ενός κανονικού λακκοειδούς τάφου, όχι όμως υπόγειου αλλά υπέργειου. Στην λιθοδομή των τοίχων μπορεί να προσέξει κανείς ότι οι πατούρες σταματούν σε κάποια απόσταση μπροστά από την νότια στενή πλευρά και ότι οι κατώτερες πέτρες εκείνου του τοίχου ακουμπούν σε χώμα και όχι στον βράχο όπως στις άλλες πλευρές. Προφανώς το νότιο τμήμα του τάφου ξαναχτίσθηκε μετά από κάποια βλάβη. Με αυτές τις παρατηρήσεις μπορούμε νά διασαφηνίσουμε τις δύο φάσεις χρήσης του τάφου: Μετά από την ταφή ο υπέργειος τάφος οπωσδήποτε έπερπετε να σκεπασθεί με χώμα και πέτρες. Ο τύμβος μπροστά από την πρόσοψη της οχύρωσης θα είχε τουλάχιστο 2μ ύψος και 7x3,5μ διάμετρο. Μία τέτοια επίχωση θα ελάττωνε την αμυντική δυνατότητα του οχυρω-

ματικού τείχους και έτσι θα αποφασίσθηκε η ανέγερση ενός προμάχωνα γύρω από τον τύμβο. Καθώς τα χώματα του τύμβου σκάβονταν γιά να θεμελιωθεί ο προμαχώνας σωριάσθηκε η νότια στενή πλευρά του τάφου σπάζοντας τα πήλινα αγγεία στο νότιο τμήμα του ταφικού θαλάμου. Στον καθαρισμό πριν από την πρόχειρη ανοικοδόμηση του τάφου, οι Αιγινήτες έβγαλαν έξο από αυτόν όχι μόνο πεσμένες πέτρες και χώματα αλλά και τα κόκκαλα των ποδιών του σκελετού καθώς και κοιμάτια κεραμεικής. Πίσω από τον προμαχώνα το οχυρωματικό τείχος κατεδαφίσθηκε γιά να γίνει πάλι προσιτός ο τάφος, τώρα όμως από το εσωτερικό του συνοικισμού.

Τα πλούσια κτερίσματα, η ξεχωριστή θέση και η αρχιτεκτονική προσδιορίζουν την ιδιαίτερη σημασία του νεκρού που θάφτηκε εδώ. Στο τρίτο κεφάλαιο ανασκοπεύονται παρόμοιοι εξέχοντες τάφοι της μέσης εποχής του χαλκού στο Αιγαίο. Δεν είναι δυνατό λόγω των μεταγενέστερων διαταραχών να εξακριβώσουμε αν ο τάφος στην Θήβα, οικόπεδο Ταμβίσκου, ήταν λακκοειδής η χτιστός κιβωτιόσχημος. Τα είδη όμως των κτερισμάτων (ξίφος, αιχμή δόρατος, μαχαίρι, αιχμές βελών, οδοντόφρακτος κράνος) καθώς και η διάταξη τους μέσα στον τάφο αντιστοιχούν στον τάφο της Αίγινας. Μεγάλος χτιστός κιβωτιόσχημος τάφος με καλυπτήριες πλάκες – και όχι το στόμιο μιάς θόλου – θα ήταν και η κατασκευή στον λόφο του Δράμεσιου που καταστράφηκε το 1945 και 1965. Τα μεσοελλαδικά αγγεία και η αιχμή δόρατος που βρέθηκαν κοντά στον τάφο θα είναι πιθανώς τα υπόλοιπα των αρχικών πλούσιων(?) κτερισμάτων. Ο τάφος 28 στην Αγ. Ειρήνη (Κέως) βρέθηκε συλλημένος. Πρόκειται γιά μεγάλο κτιστό κιβωτιόσχημο τάφο κάτω από ένα τύμβο και σε μικρή απόσταση έξω από το οχυρωματικό τείχος του οικισμού. Στον περίβολο του τύμβου διακρίνονται δύο φάσεις: μία πρώτη με τοίχο από αδρούς λίθους και μία δεύτερη με κάθετες πλάκες που χρονολογικά μπορεί να συνδεθεί με την μεγάλη οχύρωση της περιόδου V (= MK III). Και ο λακκοειδής τάφος κάτω από τον τύμβο V στον Θωρικό είναι συλλημένος. Η χρονολόγηση του στην ΜΕ στηρίζεται στην στρωματογραφία στο βόρειο τμήμα του περιβόλου. Ο τύμβος V προηγείται του θολωτού τάφου IV. Στον Μαραθώνα, Βρανά, ο τύμβος I με εφτά μεσοελλαδικές ταφές διαιμοφώθηκε σε τρεις αλλεπάλληλες φάσεις. Παλιότερος είναι ο μικρός τύμβος με τον τάφο 1, ακολουθεί ο κτιστός τάφος 2 και σε τρίτη φάση χτίζεται ο τάφος 3 μαζί με τον μεγάλο περίβολο. Ο τάφος 1 στο Κεφαλόβρυσο είναι ένας κανονικός λακκοειδής. Διαδοχικές ταφές όμως παραμέρισαν τον πρώτο νεκρό και ίσως αφαιρέθηκαν και κτερίσματα. Ο τύμβος του Αγ. Ιωάννου, Παπούλια, ήταν αρχικά ένας κτιστός πεταλόσχημος τάφος κάτω από ένα μικρό τύμβο

από χώμα καλυψμένο με μιά στρώση από πέτρες. Ο πρώτος αυτός τύμβος σκεπάσθηκε από τρεις τουλάχιστο αλλεπάλληλες στρώσεις χώματος και πετρών. Οι μεταγενέστερες ταφές σε πίθους και μικρούς κιβωτιόσχημους τάφους έγιναν στην περιφέρεια του τύμβου και χρονολογούνται στην ΜΕ II-III. Μία παρόμοια ιστορία φάσεων πρεπεί να είχαν και οι τύμβοι της Ασίνης και της Βοϊδοκοιλιάς, παρόλο που σε αυτούς δύο το κέντρο με την υποθετική αρχική ταφή καταστράφηκε.

Σχετικά με την κτέριση των διακεκριμένων νεκρών σ' αυτούς τους τάφους διαθέτουμε λίγα μόνο στοιχεία αφού οι περισσότεροι τάφοι βρέθηκαν συλλημένοι. Οι τάφοι της Αίγινας και της Θήβας περιέχουν τον ίδιο συνδυασμό όπλων: ξίφος, λόγχη, βέλη, μαχαίρι και κράνος. Τέτοιος εξοπλισμός δεν συναντάται ούτε ως σύνολο ούτε εν μέρει σε ΜΜ τάφους στην Κορήτη. Το ίδιο ισχύει γιά την αρχιτεκτονική των τάφων, δηλ. τον υπόγειον κτιστό θάλαμο μεγάλων διαστάσεων και τον τύμβο με περίβολο. Όπου ο σύγχρονος με τον τάφο οικισμός είναι γνωστός η ταφή γινεται πάντα έξω από τον οικισμό αλλά σε μικρή απόσταση από αυτόν και πάντα σε θέση όπου το μνημειώδες σήμα να είναι και προσιτό και ορατό.

Ο λακκοειδής τάφος της Αίγινας δεν είναι μοναδικός, ανήκει σε μία ομάδα εξαίρετων τάφων που τους συναντούμε και σε άλλες θέσεις στην Στερεά Ελλάδα. Στο τέταρτο κεφάλαιο επιχειρείται μία ανάλυση των σχέσεων Κορήτης, νησιών του Αιγαίου και Στερεάς Ελλάδας με σκοπό να διευκρινισθεί η σημασία αυτών των ξεχωριστών τάφων στην κοινωνία της μέσης εποχής του χαλκού. Το κύριο πρόβλημα είναι αν η παλαιοανακτορική Κορήτη έπαιξε αποφασιστικό ρόλο στην εγκατάσταση μίας προνομιούχας τάξης στον κυκλαδικό και ελλαδικό χώρο. Από τα αρχαιολογικά στοιχεία που έχουμε στην διάθεση μας προκύπτουν τα εξής συμπεράσματα:

1. Οι διακεκριμένοι τάφοι ανήκουν σε οικισμούς που κατέχουν κεντρική θέση στις οικονομικές και πολιτικές δραστηριότητες μίας περιοχής.
2. Στους οικισμούς με τέτοιο τάφο δεν παρατηρείται ιδιαίτερη πυκνότητα εισαγμένων από την Κορήτη μινωικών αντικείμενων. Αντίθετα υπάρχουν τέτοιοι οικισμοί χωρίς καθόλου μινωική κεραμεική όπως επίσης υπάρχουν μινωικά ευρήματα σε οικισμούς χωρίς διακεκριμένο τάφο.
3. Τουλάχιστο όσον αφορά τα ταφικά έθιμα (ταφική αρχιτεκτονική και επιλογή κτερισμάτων) η συμπεριφορά των μεσοελλαδικών προνομιούχων δεν επηρεάζεται από την ανακτορική κοινωνία της Κορήτης.

Οι σχέσεις με την Κορήτη, αραιές ακόμα στην αρχή της μέσης εποχής του χαλκού και πολύ πυκνές προς την ΥΕ II, δεν είναι αιτία αλλά επακόλουθο της εγκατάστασης μίας προνομιούχας τάξης στον ελλα-

δικό χώρο. Οι Ελλαδίτες άρχοντες επικοινωνούν διπλωματικά και εμπορικά με τα μινωικά ανάκτορα, προφανώς ως ίσος προς ίσον: αυτοί δέχονται τα πολυτελή δώρα και είναι σε θέση να τα ανταπο-

δίδουν. Το ενδιαφέρον για καλές σχέσεις από την πλευρά των μινωικών ανακτόρων γίνεται ολοφάνερο με την αποστολή ενός μινωίτη αγγειοπλάστη στον άρχοντα της Αίγινας.